

В. Н. Юрчук

О РАЗЛИЧИИ ЭВОЛЮЦИИ ПЛОСКИХ ПРОДОЛЬНОЙ И ПОПЕРЕЧНОЙ КОЛОКОЛООБРАЗНЫХ ВОЛН ПРИ ИХ РАСПРОСТРАНЕНИИ В НЕЛИНЕЙНО УПРУГИХ КОМПОЗИТАХ

Институт механики им. С.П.Тимошенко НАНУ,
ул. Нестерова, 3, 03057, Киев, Украина; e-mail: reol@inmech.kiev.ua

Abstract. For the problem on evolution of the nonlinear elastic plane longitudinal and transverse waves of displacement, a statement is proposed, an analysis of numerical results is carried out, and a data is compared. The 18 variants of initial parameters are studied numerically – two variants of composite materials, three variants of the wave bottom length, three variants of initial maximal amplitude. For each variant, the 3D plots «displacement – passed by wave distance – time of wave propagation» are built. An attention is concentrated on difference in evolution of longitudinal and transverse waves.

Key words: nonlinear plane longitudinal and transverse waves, approximate method, bell-shaped wave profile, difference in wave evolutions.

1. Постановка задачи.

В данном исследовании будем придерживаться подхода к анализу упругих плоских волн в материалах, которые деформируются нелинейно в рамках описания нелинейности потенциалом Мурнагана. Этот подход представлен в [1, 2] и использован применительно к одиночным волнам колоколообразного профиля: к продольной – в [3] и к поперечной – в [4]. Однако сравнение эволюции профиля этих волн не было проведено. Эволюция оказывается существенно разной, чему и посвящено данное сообщение.

Исходными нелинейными волновыми уравнениями являются квадратично нелинейные уравнения, полученные в виде второго приближения [2] при условии движения волн в направлении оси абсцисс

$$\rho u_{1,t} - (\lambda + 2\mu) u_{1,11} = N_1 u_{1,11} u_{1,1} + N_2 (u_{2,11} u_{2,1} + u_{3,11} u_{3,1}); \quad (1)$$

$$\rho u_{2,t} - \mu u_{2,11} = N_2 (u_{2,11} u_{1,1} + u_{1,11} u_{2,1}); \quad \rho u_{3,t} - \mu u_{3,11} = N_2 (u_{3,11} u_{1,1} + u_{1,11} u_{3,1}); \quad (2)$$

$$N_1 = [3(\lambda + 2\mu) + 2(A + 3B + C)]; \quad N_2 = \lambda + 2\mu + (1/2)A + B; \quad (3)$$

u_k – смещения; λ, μ, A, B, C – упругие постоянные модели Мурнагана.

Ограничим далее анализ задачей, когда первоначально в материале возбуждается лишь продольная или вертикально поляризованная поперечная волна. Тогда уравнения (1) и (2) принимают вид

$$\rho u_{1,t} - (\lambda + 2\mu) u_{1,11} = N_1 u_{1,11} u_{1,1} \rightarrow u_{1,t} - (c_L)^2 u_{1,11} = (N_1/\rho) u_{1,11} u_{1,1}; \quad (4)$$

$$\rho u_{3,t} - \mu u_{3,11} = 0 \rightarrow u_{3,t} - (c_T)^2 u_{3,11} = 0, \quad (5)$$

где скорости линейных плоских продольной и поперечной волн обозначены как $c_L = \sqrt{(\lambda + 2\mu)/\rho}$, $c_T = \sqrt{\mu/\rho}$.

Из вида уравнения (4) следует, что оно нелинейное, тогда как из вида уравнения (5) следует, что оно линейное. Поэтому уравнение (4) позволяет изучать нелинейные волновые эффекты, а уравнение (5) – нет. Для изучения нелинейных волновых эффектов при движении поперечной волны используется следующее после приближения (3), (4) нелинейное приближение [2]

$$\rho u_{3,tt} - \mu u_{3,11} = N_2 (u_{3,11} u_{1,1} + u_{1,11} u_{3,1}) + N_4 u_{3,11} (u_{3,1})^2 + N_5 u_{3,11} (u_{1,1})^2 + N_6 u_{3,11} (u_{2,1})^2; \quad (6)$$

$$N_4 = (1/2)[2(\lambda + 2\mu) + 5A + 14B + 4C]; N_5 = (3/2)(\lambda + 2\mu + A + 2B), N_6 = 3A + 10B + 4C.$$

Если первоначально возбуждается лишь поперечная волна, то уравнение (6) упрощается к виду

$$\rho u_{3,tt} - \mu u_{3,11} = N_4 u_{3,11} (u_{3,1})^2 \rightarrow u_{3,tt} - (c_T)^2 u_{3,11} = (N_4/\rho) u_{3,11} (u_{3,1})^2. \quad (7)$$

Таким образом, сами постановки задач об эволюции плоских продольной и поперечной волн различны – простейшее волновое уравнение для продольной волны содержит квадратично нелинейную составляющую, тогда как для поперечной волны – кубически нелинейную.

2. Приближенный численный подход к анализу эволюции колоколообразного профиля волны.

Представим уравнение (4) в виде

$$u_{1,tt} - \left\{ (c_L)^2 + (N_1/\rho) u_{1,1} \right\} u_{1,11} = 0 \rightarrow u_{1,tt} - [1 + \alpha_L u_{1,1}] (c_L)^2 u_{1,11} = 0, \quad \alpha = [N_1/(\lambda + 2\mu)] \quad (8)$$

и уравнение (7) в подобном (8) виде

$$u_{3,tt} - (c_T)^2 u_{3,11} = (N_4/\rho) u_{3,11} (u_{3,1})^2 \rightarrow u_{3,tt} - [1 + \alpha_T (u_{3,1})^2] (c_T)^2 u_{3,11} = 0, \quad \alpha_T = (N_4/\mu). \quad (9)$$

Далее для профиля волны в виде колокола приближенное решение уравнений (8) и (9) получается по одинаковой процедуре и имеет вид [4, 5]

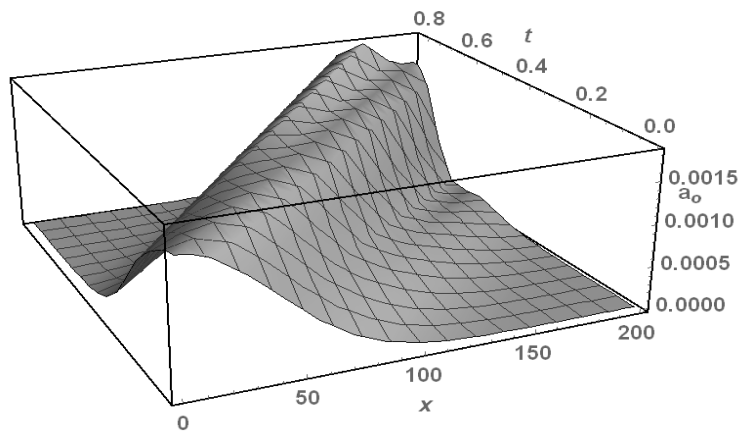
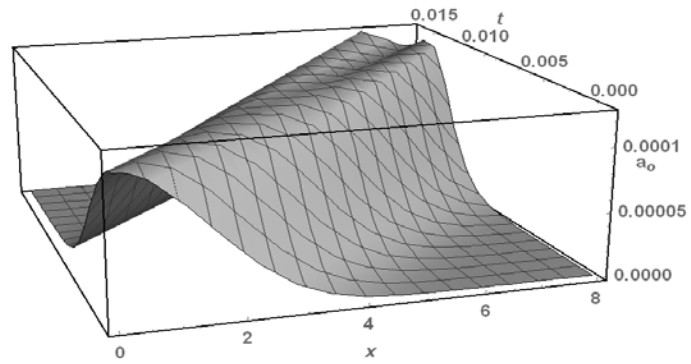
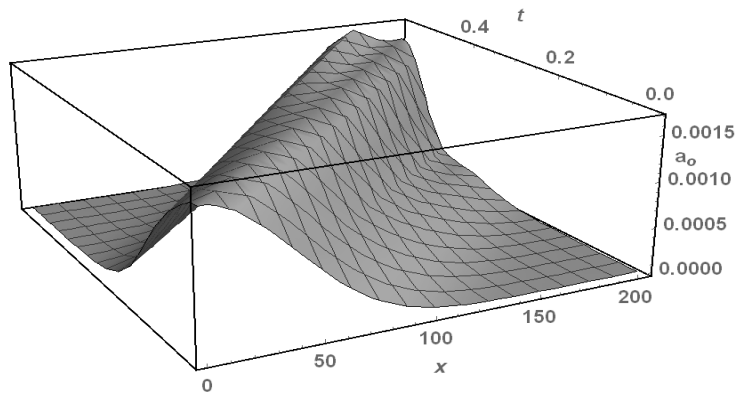
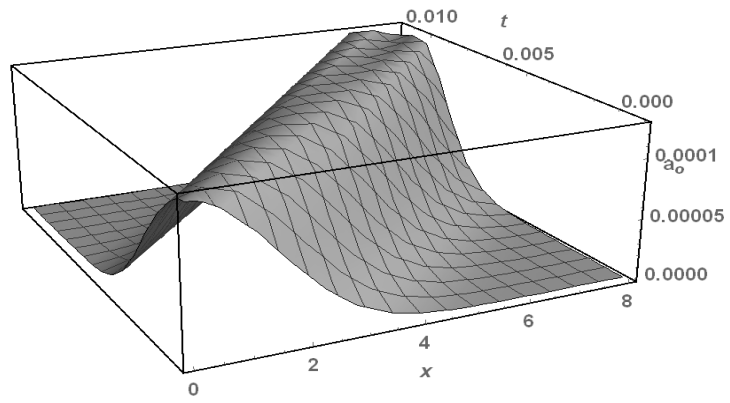
$$u_1(x_1, t) = A_L^0 e^{-[a_L^2(x_1 - c_L t)^2/2]} - (1/2) t \alpha_L c_L a^2 (x_1 - c_L t)^2 (A_L^0)^2 e^{-a_L^2(x_1 - c_L t)^2}; \quad (10)$$

$$u_3(x_1, t) \approx u_3^0 e^{-(\sigma^0)^2(x_1 - c_3 t)^2/2} + (1/2) t \alpha_3 c_3 (\sigma^0)^3 (x_1 - c_3 t)^3 (u_3^0)^3 e^{-3(\sigma^0)^2(x_1 - c_3 t)^2/2}. \quad (11)$$

При анализе профилей (10), (11) понятия первой, второй и третьей гармоник неприменимы и функции $e^{-a^2\sigma^2/2}$, $e^{-a^2\sigma^2}$, $e^{-3a^2\sigma^2/2}$ ($\sigma = x_1 - c_L t$ – фаза волны) можно считать гармониками весьма условно, но структура приближенных решений (10), (11) достаточно подобна структуре подобных решений для гармонической волны [2].

Выберем с целью численного анализа два композитных материала с такими параметрами в рамках модели Мурнагана (система СИ) [1 – 3]. Материал 21 «матрица полистирол – гранулы медь; объемное содержание матрицы и гранул: 0,2 и 0,8» – $\rho = 0,179 \cdot 10^4$, $\lambda = 0,0222 \cdot 10^{10}$, $\mu = 0,0424 \cdot 10^{10}$, $A = -19,58 \cdot 10^{10}$, $B = -17,04 \cdot 10^{10}$, $C = -15,34 \cdot 10^{10}$. Материал 51 «матрица алюминий – гранулы вольфрам; объемное содержание матрицы и гранул: 0,2 и 0,8» $\rho = 0,378 \cdot 10^4$, $\lambda = 0,022 \cdot 10^{10}$, $\mu = 0,043 \cdot 10^{10}$, $A = -3,970 \cdot 10^{10}$, $B = -15,24 \cdot 10^{10}$, $C = -70,10 \cdot 10^{10}$.

Для колоколообразной одиночной волны примем предположение, что длиной подошвы волны L является интервал (расстояние), для которого площадь под графиком начального профиля волны вне этого интервала ничтожно мала. Тогда для функции Гаусса (колоколообразной функции) $e^{-(x^2/2\bar{\sigma}^2)} = e^{-(x/\bar{\sigma})^2/2}$ по правилу $3\bar{\sigma}$ длина подошвы профиля равна $6\bar{\sigma}$. Поэтому в представлении профиля параметр a определяет длину подошвы по формуле $\sigma = (1/a)$. Для рассмотренных материалов начальная подошва выбрана одинаковой.



По формулам (10), (11) построены трехмерные графики с координатами «смещение u_1 – пройденное волной расстояние x_1 – время распространения t ». Всего 18 наборов (2 материала, 3 варианта подошвы волны, 3 варианта максимальной начальной амплитуды). На рисунке приведены графики одного набора, соответствующего таким значениям параметров: материалы 21 и 51, $L = 0,15$, $a = 2/3$, $a_0 = 1,2 \cdot 10^{-4}$ для продольной волны и $L = 0,15$, $a = 1/40$, $a_0 = 1,5 \cdot 10^{-3}$ для поперечной волны.

Из графиков следует, что решение (10) существенно зависит от фазы σ и описывает эволюцию таким образом: начальный симметричный профиль деформируется симметрично, средняя часть профиля расширяется – он как бы «полнеет», сохраняя подошву неизменной.

Решение (11) существенно зависит от фазы σ : в разных точках профиля его изменение происходит по-разному, но нелинейная добавка всегда антисимметрична. В вершине колокола изменение отсутствует (максимальная амплитуда профиля неизменна). Однако в других, симметричных относительно вершины точках профиля, профиль изменяется несимметрично: правая часть профиля расширяется («полнеет»), тогда как левая часть профиля сужается («худеет»).

Проведен сравнительный числовой анализ одиночных нелинейных упругих плоских продольной и поперечной волн смещения колоколообразного профиля. Общим для эволюции этих волн является искажение профиля вследствие нелинейного взаимодействия волны самой с собой. Различия проявляются как в описании волновыми уравнениями, так и в сценарии эволюции. Эволюция происходит для каждой волны по-своему.

РЕЗЮМЕ. Описано теоретично, проаналізовано і зіставлено отримані результати для задачі про еволюцію нелінійно пружних плоских поздовжньої і поперечної хвиль дзвіноподібного профіля. Чисельно вивчено 18 варіантів початкових параметрів – два варіанти композитного матеріалу, три варіанти довжини підосви хвилі, три варіанти початкової максимальної амплітуди. Для кожного варіанту побудовані тривимірні графіки «зміщення – пройдена хвилею відстань – час поширення хвилі». Акцентовано увагу на відмінності в еволюції поздовжньої та поперечної хвилі.

1. Руцицький Я.Я., Цурпал С.І. Хвилі в матеріалах з мікроструктурою. – К.: Інститут механіки ім. С.П.Тимошенка, 1998. – 377 с.
2. Rushchitsky J.J. Nonlinear Elastic Waves in Materials. – Heidelberg: Springer, 2014. – 455 p.
3. Rushchitsky J.J. Cattani C., Sinchilo S.V. Physical Constants for One Type of Nonlinearly elastic Fibrous micro and nanocomposites with hard and Soft Nonlinearities // Int. Appl. Mech. – 2005. – 41, N 12. – P. 1368 – 1377.
4. Rushchitsky J.J., Yurchuk V.N. An Approximate Method for Analysis of Solitary Waves in Nonlinear Elastic Materials // Int. App. Mech. – 2016. – 52, N 3. – P. 282 – 289.
5. Rushchitsky J.J., Yurchuk V.N. Evolution of SV-Wave with Gaussian Profile // Int. Appl. Mech. – 2017. – 53, N3. – P. 300 – 305.
6. Yurchuk V.N., Rushchitsky J.J. Numerical Analysis of Evolution of the Plane Longitudinal Nonlinear Elastic Waves with Different Initial Profiles // Int. App. Mech. – 2017. – 53, N 1. – P. 104 – 110.

Поступила 28.12.2017

Утверждена в печать 22.11.2018